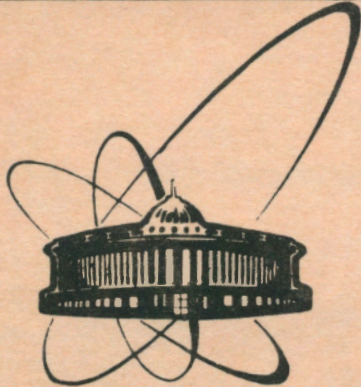


92-317



сообщения  
объединенного  
института  
ядерных  
исследований  
дубна

P10-92-317

Г.А.Ососков, А.С.Поспелов\*

ПРИМЕНЕНИЕ ДИСКРЕТНЫХ  
ПРЕОБРАЗОВАНИЙ  
В ЗАДАЧЕ ПРЕДВАРИТЕЛЬНОЙ ОБРАБОТКИ  
РЕЗУЛЬТАТОВ ЭКСПЕРИМЕНТОВ  
В ФИЗИКЕ ВЫСОКИХ ЭНЕРГИЙ.  
СЛУЧАЙ КОРРЕЛИРОВАННОСТИ  
ПОГРЕШНОСТЕЙ ИЗМЕРЕНИЙ

---

\*Московский институт электронной техники, Москва

1992

1. В настоящей работе продолжены исследования, начатые авторами в [1]. Мы продолжаем изучать модель

$$\xi = \eta + \epsilon, \quad \eta = G\alpha, \quad (1)$$

где  $\eta$  — вектор модели со случайными параметрами  $\alpha = (\alpha_1, \dots, \alpha_s)$  и матрицей  $G$ ,  $\xi$  —  $N$ -мерный вектор измерений и  $\epsilon$  — вектор случайных погрешностей измерений той же размерности. Предполагается, что вектор погрешностей  $\epsilon$  независим от вектора модели  $\eta$  и имеет известную ковариационную матрицу  $K_\epsilon$ . Ковариационная матрица  $C$   $s$ -мерного вектора параметров  $\alpha$  также предполагается известной, так что если  $K_M$  — ковариационная матрица вектора  $\eta$  (ковариационная матрица модели), то

$$K_M = G C G^T. \quad (2)$$

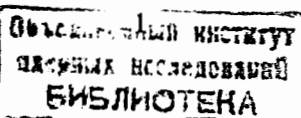
Таким образом, учитывая (2), а также независимость погрешностей измерений, можем записать

$$K = K_M + K_\epsilon = G C G^T + K_\epsilon, \quad (3)$$

где  $K$  — ковариационная матрица вектора измерений  $\xi$ .

Под задачей предварительной обработки результатов измерений будем понимать разработку метода преобразования данных сканирования с координатных детекторов в линейные трек-элементы [2]. В дальнейшем эту задачу при условии существования исходной модели, то есть в случае, когда выполняются соотношения (1) — (3), будем для краткости обозначать через  $\langle G, K_\epsilon \rangle$ . Здесь матрица  $G$  определяет модель физического эксперимента, а

$K_\epsilon$  — ковариационную матрицу погрешностей измерений. Задачу  $\langle G, \sigma^2 I \rangle$  (  $I$  — единичная матрица), когда погрешности измерений некоррелированы, будем называть канонической для данной модели. Метод и алгоритм решения такой задачи были рассмотрены авторами в работе [1]. Там же отмечалось, что общий случай коррелированных погрешностей измерений (когда  $K_\epsilon = \sigma^2 W$  для некоторой положительно определенной симметрической матрицы  $W$ ) необходимо сводить к соответствующей канонической задаче дискретным преобразованием  $T = W^{-1/2}$ . В результате получается новая каноническая задача  $\langle \tilde{G}, \tilde{K}_\epsilon \rangle$ , где



$$\tilde{G} = W^{-1/2}G; \tilde{K}_\epsilon = W^{-1/2}K_\epsilon W^{-1/2} = W^{-1/2}(\sigma^2 W)W^{-1/2} = \sigma^2 I,$$

которая может быть решена разработанным методом. Такой способ решения задачи предварительной обработки, основанный в общем случае на использовании преобразования  $T$ , связан с большими трудностями, так как общие методы вычисления матрицы  $W^{1/2}$  отсутствуют [3].

Ниже показано, как можно преодолеть указанную трудность.

Напомним, что разработанный для канонической задачи метод требует выделения подпространства, ортогонального подпространству модели, и построения критерия распознавания в этом подпространстве. Пусть  $L_M$  — подпространство модели, то есть подпространство, порожденное векторами столбцов матрицы  $G$ . Пусть далее  $L^\perp$  — ортогональное дополнение для  $L_M$ . Аналогично определяем  $\tilde{L}_M$  и  $\tilde{L}^\perp$  для соответствующей канонической задачи  $\langle \tilde{G}, \tilde{K}_\epsilon \rangle$ ,  $\tilde{K}_\epsilon = \sigma^2 I$ . Заметим при этом, что  $\tilde{L}_M$  является образом подпространства  $L_M$  при преобразовании  $T$ , то есть

$$\tilde{L}_M = TL_M. \quad (4)$$

Рассмотрим, наконец, подпространство  $T^*\tilde{L}^\perp$  и покажем, что оно совпадает с  $L^\perp$ , то есть

$$T^*\tilde{L}^\perp = L^\perp. \quad (5)$$

Действительно, пусть  $x$  — произвольный вектор из подпространства  $L_M$  и  $y$  — из подпространства  $T^*\tilde{L}^\perp$ . В силу невырожденности преобразования  $T$  (а следовательно, и  $T^*$ ) тогда найдется вектор  $z \in \tilde{L}^\perp$  такой, что  $y = T^*z$ . Отсюда получаем, с учетом (4),

$$(x, y) = (x, T^*z) = (Tx, z) = 0,$$

так что имеет место включение  $T^*\tilde{L}^\perp \subseteq L^\perp$ . И вновь учитывая невырожденность преобразования  $T$ , выводим, наконец, равенство (5).

2. Доказанное равенство (5) позволяет в значительной степени упростить процедуру применения критерия распознавания треков среди произвольных наборов различных измерений. Напомним, что в соответствии с разработанным в [1] методом этот критерий в применении к задаче  $\langle G, K_\epsilon \rangle$  с произвольной ковариационной матрицей  $K_\epsilon$  строится в терминах подпространства  $\tilde{L}^\perp$  соответствующей канонической задачи  $\langle \tilde{G}, \sigma^2 I \rangle$ . Необходимо выбрать произвольный базис подпространства  $\tilde{L}^\perp$  и рассмотреть распределения коэффициентов разложения образа набора различных измерений, то

есть вектора  $TX$ , по этому базису. Иначе говоря, если  $\tilde{X} = TX$  — образ некоторого набора различных измерений и  $f$  — вектор ортонормированного базиса подпространства  $\tilde{L}^\perp$ , то изучается распределение случайной величины  $\tilde{c}(\tilde{X}, f)$ . Но в силу равенства (5) эта величина равна  $(X, e)$ , где  $e = T^*\tilde{L}^\perp \subseteq L^\perp$ .

Отсюда следует, что переход от задачи  $\langle G, K_\epsilon \rangle$  к задаче  $\langle \tilde{G}, \sigma^2 I \rangle$  не нужен. Достаточно рассмотреть произвольный базис подпространства  $L^\perp$  и, в полном соответствии со случаем канонической задачи, исследовать распределения скалярных произведений вектора  $X$  с элементами этого базиса. В результате получаем, что случай ковариационной матрицы  $K_\epsilon$  общего вида, то есть задача  $\langle G, K_\epsilon \rangle$ , решается тем же способом, что и каноническая задача  $\langle \tilde{G}, \sigma^2 I \rangle$ .

3. Проведенные численные эксперименты подтвердили полученные теоретические результаты. Как и в случае скалярной ковариационной матрицы, в серии экспериментов генерировалось 10 треков, каждый из которых представлял собой прямую вида  $\alpha t$  со случаем параметром  $\alpha$ , равномерно распределенным на интервале  $[-1/2, 1/2]$ . Далее моделировались измерения каждого из треков в точках  $t_k = k = 1, 2, 3, 4$  с погрешностью округления, равномерно распределенной на интервале  $[-\Delta/2, \Delta/2]$ , и таким образом, что погрешности соседних измерений были коррелированы с коэффициентом корреляции  $\rho$ .

Более подробно остановимся на формировании решающего правила отбора тех совокупностей измерений, которые направляются на следующую проверку и в результате связываются в треки. Заметим, прежде всего, что если  $x_k = \alpha t_k$  — значения случайной прямой в точках измерений и  $\epsilon_k$  — соответствующая погрешность измерения, то  $X_k = x_k + \epsilon_k = \alpha t_k + \epsilon_k$ ,  $k = 1, 2, 3, 4$ . Если теперь  $e_1$  — первый из базисных векторов подпространства  $L^\perp$ , то скалярное произведение

$$c_1 = (X, e_1) = \sum_{k=1}^4 X_k e_{k1} = \sum_{k=1}^4 x_k e_{k1} + \sum_{k=1}^4 \epsilon_k e_{k1}. \quad (6)$$

В случае, когда набор значений  $(x_1, x_2, x_3, x_4)$  получен от одной из случайных прямых, первое слагаемое в правой части (6) отсутствует в силу ортогональности подпространства  $L^\perp$  подпространству модели  $L_M$ . Таким образом,

$$c_1 = \sum_{k=1}^4 \epsilon_k e_{k1} \quad (7)$$

в этом случае. Если же набор значений  $(x_1, x_2, x_3, x_4)$  получен от разных прямых, в правой части (6) присутствуют оба слагаемых.

Рассмотрим плотность распределения случайной величины  $c_1$  в каждом из этих случаев. Когда случайная величина  $c_1$  описывается соотношением (6), ее плотность распределения  $f_{c_1}(u)$  является сверткой (в силу независимости погрешностей измерений от самих измерений) плотностей распределений двух слагаемых. Обозначим их соответственно через  $f_x(u)$  и  $f_\epsilon(u)$ . Нетрудно видеть, что

$$f_x(u) = f_{x_1}(u) * \dots * f_{x_4}(u)$$

и

$$f_\epsilon(u) = f_{\epsilon_1}(u) * \dots * f_{\epsilon_4}(u),$$

причем область распределения  $f_x(u)$  (ее носитель) содержится в интервале  $[-2, 2]$ , а носитель  $f_\epsilon(u)$  — в интервале  $[-2\Delta, 2\Delta]$ . Отсюда следует, что носитель плотности распределения  $f_{c_1}(u)$  содержитя в интервале  $[-2(1 + \Delta), 2(1 + \Delta)]$  для случая, определенного соотношением (6). Если же случайная величина  $c_1$  определяется формулой (7), то плотность ее распределения сосредоточена на интервале  $[-2\Delta, 2\Delta]$  в силу отсутствия первого слагаемого.

На этом факте и основано решающее правило. Именно: к следующей проверке (вычислению скалярного произведения со следующим базисным вектором  $e_2$  подпространства  $L^\perp$ ) допускаются те наборы  $X$ , для каждого из которых выполняется неравенство

$$|c_1| = |(X, e_1)| \leq 2\Delta. \quad (8)$$

Аналогично (8) определены и иные критерии.

В результате прошедшие все проверки наборы измерений объявляются треками.

В условиях рассматриваемой модели был проделан большой объем экспериментов при различных значениях  $\Delta$  и  $\rho$ . Типичный случай результатов, когда  $\Delta = 0,01$  (диапазон погрешности измерений составляет 1% от диапазона измерений) приведен в таблице 1. Отметим, что число наборов измерений, связанных в треки ( $N_3$ ), слабо зависит от коэффициента корреляции  $\rho$  и колеблется в пределах от 57 до 12. При этом все «истинные» треки, то есть наборы измерений десяти случайных прямых, также фиксировались (что контролировалось в программе), прошли все три проверки и, следовательно, были связаны в треки. В других экспериментах ( $\Delta$  изменялось

Таблица 1. Число наборов измерений  $N_1, N_2, N_3$  (треков), прошедших соответствующее количество проверок  
(модель — прямые,  $\Delta = 0,01$ )

$\rho \backslash N$	$N_1$	$N_2$	$N_3$
-0.50	I200	240	40
-0.49	I400	I96	38
-0.47	I400	224	43
-0.44	I000	I20	I2
-0.40	I200	I44	24
-0.34	I200	216	48
-0.28	II00	I54	22
-0.19	I200	I92	34
-0.10	II00	I32	20
0.00	I200	I68	26
0.10	I000	I20	I2
0.19	I000	I20	I2
0.28	II00	I32	20
0.34	I600	320	57
0.40	I200	240	41
0.44	I400	224	40
0.47	I000	I50	I6
0.49	I000	I50	I8
0.50	I200	216	35

Таблица 2. Число наборов измерений  $N_1$ ,  $N_2$ ,  $N_3$  (треков), прошедших соответствующее количество проверок (модель — прямые,  $\Delta = 0,1$ )

$\rho \backslash N$	$N_1$	$N_2$	$N_3$
-0.50	4000	2720	1235
-0.49	2900	1914	765
-0.47	2300	1288	365
-0.44	2600	1326	423
-0.40	3100	1953	859
-0.34	3500	2205	1195
-0.28	3300	2046	966
-0.19	2100	861	212
-0.10	2800	980	288
0.00	3000	1470	738
0.10	2700	1134	538
0.19	3300	1980	818
0.28	2500	1225	449
0.34	2800	1428	535
0.40	3400	2108	1038
0.44	3800	2812	1150
0.47	2900	1827	677
0.49	2800	1904	728
0.50	4200	2352	1035

от 01 % до 5 %) получены аналогичные результаты. Естественно, что число  $N_3$  треков уменьшается с уменьшением диапазона погрешности измерений. Так, в случае, когда  $\Delta = 0,001$  и, следовательно, составляет 0,1 % диапазона измерений, число выделенных треков  $N_3$  изменяется от 10 до 24 при различных значениях коэффициента корреляции  $\rho$  (все «истинные» треки по-прежнему выделяются).

Вместе с тем, когда  $\Delta$  увеличивается, то возрастает и число выделяемых треков. При  $\Delta = 0,1$  (10 % диапазона измерений)  $N_3$  принимает значения от 212 до 1235. Факт уменьшения эффективности разработанного метода при больших погрешностях измерений очевиден, так как допускается значительно большее число вариантов связывания измерений в треки. Заключая рассмотрение результатов этого эксперимента, отметим, что любопытная закономерность в значениях  $N_1$  в таблице 2 связана со специальным выбором базиса в подпространстве  $L^1$ . Две последние координаты первого базисного элемента равны нулю, так что критерий проверки (8) для всякого набора измерений организуется лишь по первым двум координатам, что позволяет значительно сократить число операций (а следовательно, и время обработки), а также распараллелить вычисления.

Во второй серии экспериментов была использована принципиально другая модель, а также увеличено число измерений. Генерировалось 15 треков, каждый из которых представлял собой случайную параболу  $\alpha t^2 + \beta t$  с вершиной в начале координат, а параметры  $\alpha$  и  $\beta$  были равномерно распределены на интервале  $[-1/2, 1/2]$  и удовлетворяли условию  $\alpha + \beta = 1$ . Таким образом, подпространство модели  $L_M$  было двумерным. Число измерений равнялось 6, а погрешности измерений могли быть коррелированы и моделировались, как и в предыдущей серии экспериментов. Таким образом, объем перебора возрастал до  $15^6$  шестимерных наборов измерений. Тем не менее специальный выбор базиса в  $L^1$  позволил распараллелить вычисления и значительно сократить количество операций, так что на каждый из вариантов (при фиксированном  $\rho$ ) затрачивалось приблизительно 15—20 секунд счета. Типичный результат приведен в таблице 3.

**Замечание.** Относительно большое число полученных как в этом, так и в предыдущем эксперименте треков объясняется не только (а может быть, и не столько) величиной диапазона погрешности. Дело в том, что специальный базис, выбираемый в подпространстве  $L^1$ , не является ортогональным и, кроме того, никак не связан с ортогональным базисом в подпространстве  $L^1$ , по которому, в соответствии с построенной теорией, и должен реализоваться критерий отбора. В результате эти критерии могут быть коррелированы, что приводит к увеличению числа распознаваемых «треков».

Таблица 3. Число наборов измерений  $N_1, N_2, N_3, N_4$  (треков), прошедших соответствующее количество проверок (модель — параболы,  $\Delta = 0,01$ )

$P \backslash N$	$N_1$	$N_2$	$N_3$	$N_4$
-0.50	3I0500	23850	3600	925
-0.49	36II25	28800	5685	I4I5
-0.47	226I25	I4I75	I845	380
-0.44	2I6000	I5525	2550	59I
-0.40	263250	I5300	I2900	2I0
-0.34	354375	47925	I0650	3233
-0.28	I75500	II925	I725	388
-0.19	239655	I9I25	2895	528
-0.10	I99I25	I4625	I890	393
0.00	I58625	8550	990	I49
0.10	I75500	I0575	I365	365
0.19	I72I25	2I600	5025	I297
0.28	236250	I3725	I620	2I2
0.34	273375	I9575	3075	65I
0.40	205875	I5750	2340	588
0.44	229500	I9800	2940	734
0.47	226I25	24300	3I05	720
0.49	354375	27300	4735	II59
0.50	3I3875	48600	9720	2685

4. С этим недостатком можно справиться, пропуская полученные «треки» через дополнительные проверки, либо построив базис в подпространстве  $\tilde{L}^1$ , для чего необходим, как отмечалось выше, явный вид дискретного преобразования  $T$ . Один из таких случаев рассматривается ниже.

Пусть ковариационная матрица погрешностей имеет следующий вид:

$$K_{\varepsilon} = \sigma^2 \begin{pmatrix} 1 & \rho & \dots & \rho^l & 0 & \dots & 0 \\ \rho & 1 & \dots & \dots & \rho^l & \dots & 0 \\ \dots & \dots & \dots & \dots & \dots & \dots & \dots \\ \dots & \dots & \dots & \dots & \dots & \dots & 1 \end{pmatrix}, \quad (9)$$

что соответствует марковскому процессу  $l$ -го порядка. Рассмотрим новую задачу  $\langle G^{(0)}, K_{\varepsilon}^{(0)} \rangle$ , порожденную матрицей модели  $G^{(0)}$ , столбцами которой являются векторы

$$\mathbf{g}_j^{(0)} = (\underbrace{0, \dots, 0}_l, g_{1j}, \dots, g_{1n}), \quad j = 1, 2, \dots, s,$$

а ковариационная матрица измерений  $K_{\varepsilon}^{(0)}$  является циркулянтом, первая строка которого имеет вид

$$(1, \rho, \dots, \rho^l, 0, \dots, 0, \rho^l, \dots, \rho); \quad (10)$$

остальные получаются из нее циклическим сдвигом на соответствующее число элементов вправо. Нетрудно видеть, что  $K_{\varepsilon}$  из (9) является подматрицей  $K_{\varepsilon}^{(0)}$ , расположенной в ее правом нижнем углу. Известно [4], что дискретное преобразование Фурье диагонализирует матрицу-циркулянт.

Вычислим диагональные элементы соответствующего результата. Пусть  $D = FK_{\varepsilon}^{(0)}F^* = \text{diag}(d_0, d_1, \dots, d_{n+l-1})$ , где  $F$  — матрица дискретного преобразования Фурье с элементами

$$f_{\nu\mu} = \frac{1}{\sqrt{n+l-1}} \exp \left\{ -2\pi i \frac{\nu\mu}{n+l-1} \right\}. \quad (11)$$

Элементы  $k_{\nu\mu}^{(0)}$  циркулянта  $K_{\varepsilon}^{(0)}$  могут быть записаны в виде

$$k_{\nu\mu}^{(0)} = k_{\nu} \cdot \cdot_{\mu}, \quad (12)$$

где  $(k_0, \dots, k_{n+l-1})$  — его первая вектор-строка, а знак точки над арифметической операцией означает, что эта операция выполняется циклически по модулю  $n+l-1$ . Далее, используя выражения (11) и (12), последовательно находим

$$\begin{aligned}
d_k &= \sum_{\nu=0}^{n+l-1} \sum_{\mu=0}^{n+l-1} f_{k\nu} k_{\nu\mu}^{(0)} (f^*)_{\mu k} = \sum_{\nu=0}^{n+l-1} \sum_{\mu=0}^{n+l-1} f_{k\nu} k_{\nu} \bar{k}_{\mu k} = \\
&= \sum_{\mu=0}^{n+l-1} \sum_{\nu=0}^{n+l-1} f_{k,\nu} \bar{k}_{\nu k} = \sum_{\nu=0}^{n+l-1} \left( \sum_{\mu=0}^{n+l-1} f_{k\mu} \bar{J}_{k\mu} \right) \exp \left\{ -2\pi i \frac{\nu k}{n+l-1} \right\} k_{\nu} = \\
&= \sum_{\nu=0}^{n+l-1} \exp \left\{ -2\pi i \frac{\nu k}{n+l-1} \right\} k_{\nu}.
\end{aligned}$$

Подставляя в последнее выражение вместо  $k_{\nu}$  их явный вид из (10), находим

$$d_k = \sigma^2 \sum_{j=-l}^l \rho^{|j|} \exp \left\{ -2\pi i \frac{kj}{n+l-1} \right\} = \sigma^2 \left( 1 + 2 \sum_{k=1}^l \rho^k \cos 2\pi \frac{kj}{n+l-1} \right). \quad (13)$$

Таким образом, применяя преобразование Фурье к задаче  $\langle G_{\epsilon}^{(0)}, K_{\epsilon}^{(0)} \rangle$ , получаем новую задачу  $\langle G_F^{(0)}, K_{\epsilon,F}^{(0)} \rangle$ , для которой  $G_F^{(0)} = FG^{(0)}$ , а ковариационная матрица погрешностей  $K_{\epsilon,F}^{(0)} = FK_{\epsilon}^{(0)}F^*$  имеет диагональный вид с элементами, определенными соотношениями (13), на главной диагонали. Наконец, полагая  $\tilde{G} = D^{-1/2}G_F^{(0)}$ , где  $D$  — диагональная матрица с элементами из (13), получаем задачу  $\langle \tilde{G}, \tilde{K}_{\epsilon} \rangle$ , для которой ковариационная матрица  $\tilde{K}_{\epsilon} = D^{-1/2} \cdot K_{\epsilon,F}^{(0)} \cdot D^{-1/2}$  является скалярной. При этом преобразование  $T$ , переводящее исходную расширенную задачу в каноническую, имеет вид  $T = D^{-1/2} \cdot F$ , что позволяет определить как структуру модельного подпространства  $\tilde{L}_M$ , так и его ортогональное дополнение  $\tilde{L}^{\perp}$ .

## ЛИТЕРАТУРА

1. Ососков Г.А., Поступов А.С. — Сообщение ОИЯИ Р10-91-444, Дубна, 1991.
2. Никитин В.А., Ососков Г.А. — Автоматизация измерений и обработки данных физического эксперимента. М.: Изд-во Московского университета, 1986.
3. Парлетт Б. — Симметричная проблема собственных значений. Численные методы. М.: Мир, 1983.
4. Иохвидов И.С. — Ганкелевы и теплицевые матрицы и формы. М.: Наука, 1974.

Рукопись поступила в издательский отдел  
21 июля 1992 года.

Ососков Г.А., Пospelov A.S.

P10-92-317

Применение дискретных преобразований в задаче предварительной обработки результатов экспериментов в физике высоких энергий.

Случай коррелированности погрешностей измерений

В настоящей работе продолжены исследования по предварительному анализу треков элементарных частиц в линейной модели с  $S$  параметрами. Метод отбора трек-кандидатов по данным их измерений в  $N$  точках путем дискретного преобразования всех возможных комбинаций точек в подпространство  $N - S$  признаков обобщен здесь на важный случай коррелированных погрешностей измерений, соответствующий, в частности, наличию многократного рассеяния. Возникающие при этом вычислительные трудности, связанные с необходимостью извлечения корня из ковариационной матрицы измерений, преодолены в общем случае с помощью последовательного применения простых пороговых критерисв. Для случая, когда ковариационная матрица определяет трек как марковский процесс, найдено точное решение. Приведены результаты численных экспериментов.

Работа выполнена в Лаборатории вычислительной техники и автоматизации ОИЯИ.

Сообщение Объединенного института ядерных исследований. Дубна 1992

Перевод авторов

Ososkov G.A., Pospelov A.S.

P10-92-317

Applications of Discrete Transformations in the Problem of Preliminary Data

Processing for Experiments in High Energy Physics.

Case of Correlated Measurement Errors

The given paper continues the study for the preliminary analysis of elementary particles tracks. Assuming a linear model with  $S$  parameters for a track measured in  $N$  points, a method was proposed in [1] for selecting track-candidates from all possible point combinations. It was based on discrete transformation of these combinations to the subspace of  $N - S$  features. This method is generalized here on the important case of multiple scattering, when measurements are correlated. Computational difficulties caused by necessity of square root extracting from the covariance matrix of measurements were surmounted in the general case by sequential using of simple cut-off criteria. In the particular case, when the covariance matrix determined a track as a markov chain, the exact solution is found. Results of numerical experiments are given.

The investigation has been performed at the Laboratory of Computing Techniques and Automation, JINR.

Communication of the Joint Institute for Nuclear Research. Dubna 1992